



مطالعه تحلیلی فرآیند الکتروگرمایی آند در یک رانشگر پلاسمایی مغناطیسی

مهدى آهنگر^{۱*}، اکرم صدیق^۲

۱- استادیار، مهندسی هوافضا، دانشگاه شهید بهشتی، تهران

۲- کارشناس ارشد، مهندسی هوافضا، دانشگاه صنعتی خواجه نصیر طوسی، تهران

*تهران، صندوق پستی ۱۹۸۳۹-۴۷۱۶

چکیده

در این پژوهش، مخصوصهای الکتروگرمایی آند به صورت تحلیلی مورد مطالعه قرار گرفته است. برای این منظور دو زیرناحیه جریان پلاسمای شبکه‌خنثی و غیرخنثی در نزدیکی دیواره الکترود در نظر گرفته شده‌اند. برای ناحیه غیرخنثی یک رابطه بین افت ولتاژ و چگالی جریان با استفاده از معادلات بقای جرم و مومنتوم الکترون ارائه شده است. همچنین، برای تعیین افت ولتاژ و چگالی جریان در زیرناحیه جریان شبکه‌خنثی، روابطی مبتنی بر معادله میدان مغناطیسی القایی و قانون اهم استخراج شده است. الگوریتم حل پیشنهادی مبتنی بر ارضای شرط پیوستگی جریان است که با استفاده از روش سعی و خطأ همگرا می‌گردد. به منظور اعتبارسنجی الگوریتم تحلیلی توسعه داده شده، رانشگر پلاسمایی مغناطیسی دانشگاه پریستون با جریان تخلیه الکتریکی ۸ کیلوآمپر و دیهای جرمی ورودی ۴ و ۲۴ گرم بر ثانیه مطالعه شده است. نتایج تحلیلی به دست آمده نشان می‌دهد که تحت دیهای جرمی ورودی ۴ و ۲۴ گرم بر ثانیه به ترتیب، مقادیر شار حرارتی در بازه ۴۸۰ تا ۱۳۵۰ و ۴۰۰ تا ۱۴۹۰ وات بر ثانی متر مربع، چگالی جریان الکتریکی در بازه ۲۴ تا ۹۰ و ۳۳ تا ۱۴۰ آمپر بر ثانی متر مربع و افت ولتاژ در بازه ۵.۸ تا ۱۱ و ۴.۹ تا ۶ ولت تعییر می‌کنند. الگوریتم تحلیلی، شار حرارتی، چگالی جریان الکتریکی و افت ولتاژ در امتداد آند را مشابه داده‌های تجربی پیش‌بینی کرده است. مشاهده شده که چگالی جریان و شار حرارتی در نزدیکی وسط لبه آند، جایی که افت ولتاژ آند کمینه شده، بیشترین مقدار خود را اختیار کرده است. با استفاده از قانون دوم ترمودینامیک نشان داده شد که تابع چگالی احتمال سرعت موثر دارای توزیع گاوی است. بنابراین، تحت این شرایط انتروپوی بیشینه شده و در نتیجه نمودارهای چگالی جریان و شار حرارتی قله‌ای شکل شده‌اند.

اطلاعات مقاله

مقاله پژوهشی کامل

دربافت: ۱۵ آبان ۱۳۹۵

پذیرش: ۱۹ دی ۱۳۹۵

ارائه در سایت: ۱۰ بهمن ۱۳۹۵

کلید واژگان:

جریان پلاسمای

خلاف آند

شار حرارتی

پارامتر هال

میدان مغناطیسی

Analytical Investigation of Anode Electrothermal Process in a MPD Thruster

Mahdy Ahangar^{۱*}, Akram Sedigh^۲

۱- Department of Aerospace Engineering, Shahid Beheshti University, Tehran, Iran

۲- Faculty of Aerospace Engineering, University of K.N.Toosi, Tehran, Iran

*P.O.B. 19839-4716, Tehran, Iran, m_ahangar@sbu.ac.ir

ARTICLE INFORMATION

Original Research Paper

Received 05 November 2016

Accepted 08 January 2017

Available Online 29 January 2017

Keywords:

Plasma Flow

Anode Sheath

Heat Flux

Hall Parameter

Magnetic Field

ABSTRACT

In this research, the electrothermal characteristics of anode have been analytically investigated by considering two subzones including the quasi-neutral and non-neutral plasma flow near the anode surface. A correlation between current density and anode fall voltage has been derived by using the continuity and momentum equations for electron in the non-neutral plasma subzone. Also, two relations have been deduced from the magnetic field induction equation and Ohm's law to determine the current densities and voltage drops in the quasi-neutral plasma subzone. The suggested solution algorithm has been based on the satisfaction of current continuity condition to be converged by a trial and error method. The Princeton benchmark thruster has been investigated for the discharge current of 8 kA with mass flow rates of 4 and 24 gr/s to evaluate the developed algorithm. The obtained analytical results show that under operating conditions with mass flow rates of 4 and 24 g/s, the heat flux values are respectively in the range of 480 to 1350 and 400 to 1490 W/cm², the current densities vary from 24 to 90 and from 33 to 140 A/cm², and also the anode falls change from 5.8 to 11 and 4.9 to 6 V. The analytical algorithm has predicted the heat fluxes, current densities, and anode falls along the anode face in good agreement with measurements. It has been seen that the heat flux and current density around the anode mid-lip, where the anode fall has its minimum value, have been maximized. By using the second thermodynamic law, it has been shown that the probability density function of effective velocity has a Gaussian distribution. Therefore, under this circumstance, entropy has been maximized, and consequently the heat flux and current density profiles have been taken the summit form.

پلاسمایی^۱ بهدلیل قابلیت تولید سرعت گازهای خروجی بالاتر، برای

کاربردهای فضایی همچون مانورهای مداری و ماموریت‌های بین سیاره‌ای

در میان انواع سامانه‌های پیشرانش الکتریکی، رانشگرهای مغناطیسی

۱- مقدمه

^۱ MagnetoPlasmaDynamic Thrusters

Please cite this article using:

M. Ahangar, A. Sedigh, Analytical Investigation of Anode Electrothermal Process in a MPD Thruster, *Modares Mechanical Engineering*, Vol. 17, No. 2, pp. 77-84, 2017 (in Persian)

برای ارجاع به این مقاله از عبارت ذیل استفاده نمایید:

مغناطیسی که در آن میدان مغناطیسی کاملاً محیطی⁷ است به صورت زیر تعریف می‌گردد:

$$\Omega_e = \frac{|B|}{en_e\eta} = \frac{|B_\theta|}{en_e\eta} = -\frac{B_\theta}{en_e\eta} \quad (1)$$

که B_θ میدان مغناطیسی محیطی، e بار الکتریکی الکترون، n_e چگالی تعداد ذرات الکترون و η مقاومت الکتریکی پلاسمایی باشد. با توجه به این که ماده الکترود آند دارای خاصیت رسانایی الکتریکی زیادی است، می‌توان از میدان الکتریکی در امتداد سطح آند صرف نظر کرد. لذا با چشم پوشی از سهم گردایان فشار الکترون، قانون اهم در امتداد دیواره آند به صورت زیر ساده می‌گردد [2]:

$$j_z \approx -\frac{B_\theta}{en_e\eta} j_r \quad (2)$$

که j_z چگالی جریان الکتریکی محوری و j_r چگالی جریان الکتریکی شعاعی می‌باشد. نتایج تجربی گالیمور^[3] و نتایج عددی آهنگر و همکاران^[4] نشان می‌دهند که مقدار پارامتر هال در مجاورت الکترود آند از مرتبه یک می‌باشد. لذا مقدار جریان محوری حاصل از اثر هال قبل توجه است. از اندرکنش جریان الکتریکی محوری j_z با میدان مغناطیسی محیطی درونسو B_θ ، مولفه‌ای از نیروی لورنتز در خلاف جهت شعاعی (به سمت الکترود کاتد) به وجود می‌آید که جریان پلاسمای از نزدیکی دیواره آند دور می‌کند. این امر باعث کاهش چگالی بار در ناحیه پیرامون آند می‌شود. با توجه به لزوم پیوستگی جریان الکتریکی در سرتاسر رانشگر، در پاسخ به کمبود بارهای حامل جریان در ناحیه غلاف آند، میدان الکتریکی قابل توجهی در این ناحیه به وجود می‌آید تا با شتاب دادن بارهای حامل اثر کاهش چگالی آنها جبران شده و در نهایت مقدار شار ذرات حامل ثابت باقی می‌ماند. این سازوکار موسوم به نظریه کمبود بارهای حامل⁸ می‌باشد. بنابراین باقیتی توجه داشت که اگرچه میدان الکتریکی تولید شده باعث حفظ شرط پیوستگی جریان الکتریکی می‌شود، اما افت ولتاژ قابل ملاحظه‌ای را در ناحیه غلاف به دنبال دارد.

در پژوهشی دیگر، صابر^[5] شار حرارتی موضعی آند را با استفاده از دو روش مستقیم و غیرمستقیم اندازه‌گیری کرد. در روش مستقیم، با استفاده از ترموموکوپی‌های تعیینه شده در ناحیه داخلی دیواره الکترود آند، مقادیر شار حرارتی تعیین شد. در روش غیرمستقیم، با به کارگیری مجموعه‌ای از سنجه‌های الکتریکی مقادیر ولتاژ، چگالی جریان الکتریکی و دمای الکترون در پلاسمای مجاور سطح آند اندازه‌گیری گردید. با استفاده از داده‌های به دست آمده، شار حرارتی توسط معادله زیر حاصل شد.

$$\dot{q}_a = j_a \left(V_a + \frac{5 k T_e}{2 e} + \chi \right) + \dot{q}_c + \dot{q}_r \quad (3)$$

که j_a چگالی جریان موضعی آند، V_a افت آند، $k T_e/e$ انرژی حرارتی ناشی از حرکت تصادفی الکترون‌ها، χ تابع کار، \dot{q}_c شار جابه‌جاوی پلاسمای و \dot{q}_r شار تشعشعی می‌باشد. نتایج تجربی به دست آمده در پژوهش مذکور نشان می‌دهد که در بازه جریان الکتریکی از 44 تا 44 کیلوامپر با دبی جرمی گاز آرگون از 1 تا 48 گرم بر ثانیه مقادیر نسبت توان اتلافی آند به توان ورودی رانشگر از 50% در 200 کیلووات به 10% در 20 مگاوات کاهش می‌یابد. در گستره عملکردی ذکر شده مقدار افت آند حدوداً بین 5 تا 50 ولت متغیر است. صابر نشان داد که زیرناحیه پلاسمای شبه خنثی تقریباً به فاصله 1 سانتی‌متر از سطح آند گسترش می‌یابد و ضخامت این ناحیه از ضخامت غلاف آند بیشتر است. بنابراین، سهم افت ولتاژ در زیرناحیه پلاسمای شبه

⁷ Azimuthal

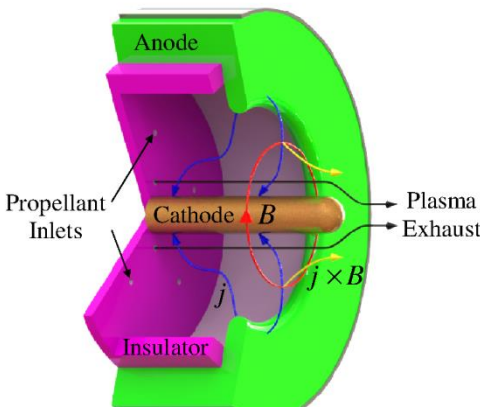
⁸ Starvation of charge carriers

مناسب می‌باشد. طرحواره این رانشگر در "شکل 1" نشان داده شده است. در این رانشگر، جریان گاز به فضای بین یک الکترود آند حلقوی و الکترود کاتد استوانه‌ای شکل تزریق می‌گردد. به واسطه اعمال اختلاف ولتاژ توسط یک منبع تغذیه، جریان گاز عموری در رانشگر یونیزه شده و جریان پلاسمای شبه خنثی¹ (که در آن چگالی تعداد ذرات الکترون و یون با هم برابر می‌باشد) تشکیل می‌گردد. با تخلیه جریان الکتریکی چند هزار آمپر در گاز یونیزه شده یک میدان مغناطیسی محیطی براساس قانون آمپر، القا می‌گردد. نیروی لورنتز حاصل از اندرکنش جریان الکتریکی و میدان مغناطیسی، به گاز یونیزه شده شتاب وارد کرده و باعث تولید نیروی پیشران می‌شود.

یکی از محدودیت‌های رانشگرهای مغناطیسی پلاسمایی وقوع افت ولتاژ در مجاورت الکترود آند (افت آند)² است که به تبع آن بار حرارتی وارد بر دیواره این الکترود افزایش می‌یابد و این موضوع سبب خوردگی و کاهش طول عمر آند می‌شود. علاوه‌بر این، بخشی از توان ایجاد شده توسط منبع تغذیه که باید صرف شتابدهی جریان پلاسمای شود، به صورت افت گرمایی تلف می‌شود.

جامع ترین مطالعات تجربی در زمینه فرآیند اتلافات حرارتی ناحیه آند توسط محققین دانشگاه پرینستون صورت گرفته است. ابرث^[1] توансست با استفاده از سنجه الکتریکی لانگمور³ مقادیر افت آند را در نزدیکی سطوح الکترود آند اندازه‌گیری نماید. کمیت افت آند توصیف‌کننده اختلاف پتانسیل بین دیواره آند و جریان پلاسمای در فاصله 0.1 سانتی‌متری از سطح آند است. ابرث بیان کرد که افت آند در برگیرنده سهم اختلاف ولتاژ در هر دو زیرناحیه غلاف آند⁴ و بخشی از جریان اصلی پلاسمای شبه خنثی می‌باشد. غلاف آند، ناحیه‌ای به ضخامت چند میکرومتر در مجاورت دیواره الکترود است که در آن جریان پلاسمای غیرخنثی⁵ ایجاد می‌شود. در این نوع از جریان پلاسمای الکترون‌ها و یون‌ها با یکدیگر برابر نمی‌باشد. بنابراین با توجه به قانون گاوس الکتریکی، افت ولتاژ قابل توجهی در ناحیه مذکور به وجود می‌آید که با توجه به قانون اهم باعث افزایش تلفات گرمایی از نوع حرارت اهمی در مجاورت این ناحیه می‌شود.

از سوی دیگر در زیرناحیه جریان پلاسمای شبه خنثی، افت ولتاژ به دلیل اثر هال⁶ ایجاد می‌شود. پارامتر هال الکترون در رانشگر پلاسمایی



شکل 1 طرحواره یک رانشگر مغناطیسی پلاسمایی

شکل 1 طرحواره یک رانشگر مغناطیسی پلاسمایی

¹ Quasi-neutral

² Anode fall

³ Langmuir probe

⁴ Anode sheath

⁵ Non-neutral

⁶ Hall effect

به کارگیری معادله (3)، شار حرارتی در امتداد لب آند با تاکید بر اراضی شرط بیوستگی جریان محاسبه خواهد شد. درنهایت، با استفاده از مفهوم انتروپوی تفاضلی، دلیل وقوع نقاط کمینه و بیشینه در منحنی های مربوط به توزیع پارامترهای مذکور توجیه خواهد شد. بنابراین، هدف اصلی پژوهش حاضر تعیین سه پارامتر کلیدی الکتروگرمایی (شار حرارتی، چگالی جریان الکتریکی و افت ولتاژ) موجود در ناحیه مجاور آند می باشد.

2- معادلات حاکم

مدل سازی فرآیند الکتروگرمایی مجاور الکتروود آند نیازمند مجموعه معادلاتی است که بتواند رفتار مشخصه های جریان پلاسما را توصیف نماید. بنابراین طبق نتایج ارائه شده توسط صابر [5] هر دو زیرناحیه غلاف آند و پلاسما شبه خنثی و اندرکنش آنها باید در نظر گرفته شوند. در ادامه، فرضیات، معادلات حاکم بر هر یک از زیرناوی مذکور و فرآیند حل آنها ارائه می گردد.

2-1- تحلیل زیرناحیه پلاسمای شبه خنثی

طبق مطالعه های تجربی در رانشگرهای مغناطیسی پلاسمایی، مقادیر عدد رینولوز مغناطیسی و پارامتر هال در نزدیکی آند به ترتیب در محدوده 0.01 تا 0.1 و 1 تا 10 می باشند [3]. تحت این شرایط، معادله حالت پایدار میدان مغناطیسی القایی به صورت زیر قابل بیان می باشد:

$$\nabla \times (\mathbf{v} \times \mathbf{B}) = \frac{1}{\sigma} \nabla \times (\nabla \times \mathbf{B}) + \beta (\nabla \times [(\nabla \times \mathbf{B}) \times \mathbf{B}]) \approx 0 \quad (4)$$

که $\mathbf{v} = [u, 0, w]$ بردار سرعت، $\mathbf{B} = [0, B_\theta, 0]$ بردار شار مغناطیسی، $\beta = 1/en$ و σ هدایت الکتریکی پلاسما می باشند. در حالت پلاسمای شبه خنثی یک بعدی در طول آند، مولفه محیطی معادله (4) به صورت زیر ساده می گردد:

$$\frac{d^2 \psi}{dz^2} + 2k\psi \frac{d\psi}{dz} = 0 \quad (5)$$

به طوری که $\psi = \sigma\beta/r_a^2$ و $r_a = r_a B_\theta$ به عنوانتابع جریان در نظر گرفته می شود. در واقع پارامتر k در طول لب آند تغییر می کند، اما برای دست یافتن به حل تحلیلی می توان مقدار آن را ثابت در نظر گرفت [10]. با استفاده از رابطه ماسکول ($\nabla \times \mathbf{B} = \mu_0^{-1} \nabla \psi$)، بزرگی چگالی جریان به صورت زیر محاسبه می شود:

$$J(z) = \left| -\frac{1}{\mu_0 r_a} \frac{d\psi}{dz} \right| \quad (6)$$

با توجه به این که مقدار بیشینه چگالی جریان (J_{max}) در ناحیه میانی لب آند ($z = 0$) رخ می دهد، از معادله (6) خواهیم داشت:

$$\frac{d\psi}{dz}(0) = -\mu_0 r_a J_{max} \quad (7)$$

$$\frac{d^2 \psi}{dz^2}(0) = 0 \quad (8)$$

که در آن J_{max} با به کارگیری معادله (3) به صورت زیر قابل محاسبه می باشد:

$$J_{max} = \frac{\dot{q}(0)}{\Phi_{min} + \omega + \frac{5 k_B T}{2 e}} \quad (9)$$

در این رابطه $\dot{q}(0)$ مقدار شار حرارتی در مکانی است که افت آند کمترین مقدار خود را اختیار می کند ($z = 0$). با اعمال شرایط (7) و (8) بر معادله (5) تابع جریان به شکل زیر در می آید:

$$\psi = \sqrt{\frac{\mu_0 r_a J_{max}}{k}} \tanh(z \sqrt{\mu_0 r_a k J_{max}}) \quad (10)$$

خنثی قابل توجه بوده و در مقایسه با سهم زیرناحیه غلاف قابل چشم پوشی نیست.

گالیمور [3] همچون صابر با استفاده از روش های مستقیم و غیرمستقیم مقادیر پارامترهای الکتروگرمایی فرآیند آند را برای پیشانهای آرگون و هلیوم در رژیم های عملکردی مختلف اندازه گیری کرد. او برای اولین بار مقادیر افت آند را به صورت کمی با پارامتر هال الکترون و ضربه هدایت الکتریکی مرتبط ساخت. وابستگی های تحریکی بدست آمده بر مبنای دو احتمال توجه گردید. نخست، ایجاد افت ولتاژ آند بدلیل وقوع اثر هال است که پیشتر بر مبنای نظریه کمبود بارهای حامل الکتریکی در مجاورت آند تبیین گردید. دومین احتمال مبتنی بر سازوکار انتقال غیرعادی¹ ذرات پلاسماست که ناشی از پدیده ریزنایپایداری² می باشد [6]. در این سازوکار، ریزنایپایداری های موجود در جریان پلاسما که از بخورد امواج با ذرات باردار به وجود می آیند مانع از عبور الکترون های حامل جریان الکتریکی می شوند و در نتیجه مقاومت الکتریکی پلاسما به طور غیرعادی افزایش یافته و به تبع آن افت ولتاژ در نزدیکی آند زیاد می شود.

سه پژوهش تجربی ذکر شده [1, 5, 3, 1]، دارای دو یافته مهم مشترک می باشند.

الف: نتایج شار حرارتی اندازه گیری شده نشان می دهد که مقدار بیشینه این کمیت حدودا در ناحیه میانی لب آند رخ می دهد.

ب: چگالی جریان الکتریکی به صورت معکوس با افت آند تغییر کرده و تقریبا در ناحیه میانی لب آند جایی که افت آند کمینه می گردد، مقدار بیشینه خود را اختیار می کند.

تاکنون، پژوهش های عددی محدودی در زمینه شبیه سازی عملکرد رانشگر دانشگاه پرینستون انجام شده است. کالدو [7] و سنکاران [8] با توسعه کدهای عددی جدایه ای که مبتنی بر حل معادلات هیدرودینامیک مغناطیسی می باشند، مشخصه های الکتریکی و هیدرودینامیکی جریان پلاسما در رانشگر دانشگاه پرینستون را شبیه سازی کردند. علی رغم نتایج عددی مناسب به دست آمده برای پارامترهای نظری سرعت، دما، میدان مغناطیسی، مشخصه های الکتروگرمایی ناحیه آند به دلیل عدم به کارگیری مدل افت آند قابل محاسبه نبودند. اخیرا آهنگر و همکاران [4] با اضافه کردن مدل غلاف آند به یک کد حل گر معادلات هیدرودینامیک مغناطیسی [9] توانستند مشخصه های الکترومغناطیسی ناحیه آند را به صورت عددی شبیه سازی کنند. در این پژوهش برای اولین بار تغییرات چگالی جریان الکتریکی و افت ولتاژ موضعی در امتداد سطوح الکتروود آند با تطبیق خوبی در مقایسه با داده های تجربی پیش بینی شد.

اگرچه پژوهش های تجربی و عددی ذکر شده، مشخصه های الکتروگرمایی آند را به صورت کمی تعیین کرده اند، با این وجود ماهیت فیزیکی پدیده آند به صورت دقیق شناسایی نشده است. در واقع هنوز سوالات بی پاسخی در مورد جزئیات رفتار مشخصه های الکتروگرمایی آند وجود دارد. به طور مثال، دلیل رابطه معکوس بین چگالی جریان الکتریکی و افت ولتاژ چیست؟ چرا شار حرارتی و چگالی جریان در مکانی که افت ولتاژ کمینه می شود، پیشترین مقادیر خود را اختیار می کند؟ بنابراین، پژوهش حاضر در نظر دارد تا برای اولین بار با ارائه یک روند تحلیلی جزئیات فرآیند ناحیه آند را بررسی نماید. برای این منظور، روابط بین افت ولتاژ و چگالی جریان الکتریکی برای هر یک از زیرناحیه های پلاسمای غیرخنثی و شبکه خنثی استخراج شده و با

¹ Anomalous transport mechanism

² Micro-instabilities

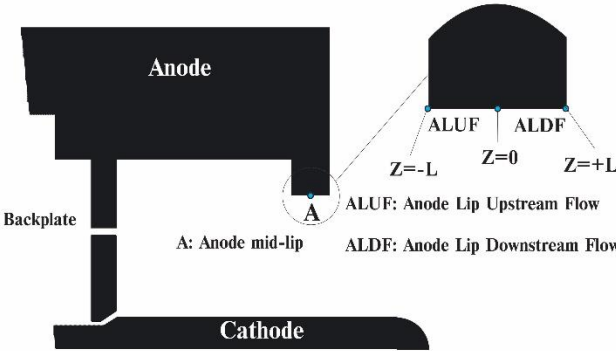


Fig. 2 Schematic of the Understudied Anode (reproduced from Ref. [3])

شکل 2 طرحواره آند تحت مطالعه (بازتولید شده از مرجع [3])

صورت زیر بازنویسی می‌شود.

$$\tilde{\nabla} \cdot (fv) = -\frac{e}{m\beta} f \quad (19)$$

معادله فوق در صورتی که $f = 0$ باشد، برقرار است. در این صورت داریم

$$\frac{\partial u}{\partial z} = \frac{\partial w}{\partial r} \quad (20)$$

با جایگذاری معادله (20) در معادلات (16) و (17) و سپس انتگرال گیری از مجموع دو معادله به دست آمده، معادله زیر حاصل می‌شود

$$\frac{m}{e}(u^2 + w^2) = -\frac{2k_B T}{e} \ln n + 2\phi + \int (wB_\theta dr - uB_\theta dz) - \frac{1}{\beta} \int (wdz + udr) + c \quad (21)$$

که در آن c ثابت معادله انتگرال می‌باشد. با استفاده از قضیه گرین، انتگرال‌های اول و دوم در سمت راست معادله (21) به ترتیب براساس معادلات (4) و (20) حذف می‌شوند. با توجه به تعریف اندازه چگالی جریان در ناحیه غلاف

$$J_{sh} = en\sqrt{u^2 + w^2} \quad (22)$$

معادله (21) به شکل زیر در می‌آید.

$$\frac{J_{sh}^2}{(en)^2} = -\frac{2k_B T}{m} \ln n + \frac{2e}{m}\phi + c \quad (23)$$

ثابت c برحسب این واقعیت که کمینه افت آند ($\Phi_{min} = \phi_{min}$) در جایی که مقدار چگالی جریان الکتریکی بیشینه می‌باشد رخ می‌دهد، قابل محاسبه می‌باشد. در نتیجه، معادله (23) به فرم زیر بازنویسی می‌شود.

$$J_{sh} = en_0 \exp\left(-\frac{e\phi}{k_B T}\right) \times \sqrt{\left(\frac{J_{max}}{en_0}\right)^2 \exp\left(\frac{2e\phi_{min}}{k_B T}\right) + \frac{4e}{m}(\phi - \phi_{min})} \quad (24)$$

معادله (24) توصیف کننده رابطه بین پتانسیل الکتریکی و چگالی جریان الکتریکی در ناحیه غلاف آند است. مقدار پتانسیل الکتریکی در طول لبه آند را می‌توان با به کارگیری معادله پواسون به دست آورد.

$$\frac{\partial^2 \phi}{\partial z^2} = \frac{e}{\epsilon_0} n_0 \exp\left(-\frac{e\phi}{k_B T}\right) \quad (25)$$

با استفاده از شرط $\phi = \phi_{min}$ و $\partial\phi/\partial z = 0$ در $z = 0$ و $z = L$ از معادله (25) رابطه زیر برای تعیین مقادیر پتانسیل الکتریکی حاصل می‌شود

$$\phi = \phi_{min} + \frac{2k_B T}{e} \ln \left(\cosh \left[\exp \left(-\frac{e\phi_{min}}{2k_B T} \right) \frac{z}{\sqrt{2\lambda_D}} \right] \right) \quad (26)$$

با جایگذاری معادله (10) در معادله (6)، مقدار چگالی جریان از رابطه زیر به دست می‌آید:

$$J(z) = J_{max} \left[1 - \tanh^2 \left(z \sqrt{\mu_0 r_a k J_{max}} \right) \right] \quad (11)$$

به منظور افزایش سازگاری نتایج تحلیلی با داده‌های تجربی، پارامتر k به ترتیب برابر با مقدار چگالی جریان الکتریکی در پایین دست و بالا دست لبه آند ($z = \pm L$) است (شکل 2)، قابل محاسبه می‌باشد. بر این اساس معادله (11) به صورت زیر بازنویسی می‌شود.

$$J(z) = \frac{J_{max}}{\cosh^2 \left[\frac{z}{L} \tan^{-1} \left(1 - \frac{J_{min}}{J_{max}} \right) \right]} \quad (12)$$

با استفاده از قانون اهم و جایگذاری معادله (6) در آن، شدت میدان الکتریکی به صورت زیر قابل بیان است.

$$E(z) = \left| -\frac{\beta}{\mu_0 r_a^2} \psi \frac{d\psi}{dz} \right| \quad (13)$$

درنهایت، با جایگزینی معادله (10) در معادله (13) و انتگرال گیری از آن، پتانسیل الکتریکی زیرناحیه پلاسمای شبه خنثی (φ) به صورت زیر حاصل می‌گردد.

$$\varphi(z) = \frac{\beta \mu_0 L^2 J_{max}^2}{2 \left[\tan^{-1} \left(1 - \frac{J_{min}}{J_{max}} \right) \right]^2} \tanh^2 \left[\left(\frac{z}{L} \right) \tan^{-1} \left(\sqrt{1 - \frac{J_{min}}{J_{max}}} \right) \right] \quad (14)$$

2- تحلیل زیرناحیه غلاف پلاسمای غیرخنثی

در ناحیه غلاف آند، اندازه چگالی تعداد ذرات الکترون بیشتر از چگالی تعداد ذرات یون‌ها می‌باشد. بنابراین، جریان الکتریکی عدالت ناشی از شار الکترون‌ها است [1]. علاوه براین، فرض می‌شود که الکترون دارای توزیع ماکسول بوده و می‌توان از رابطه تعادلی بولتزمن برای محاسبه چگالی استفاده کرد [3]:

$$n = n_0 \exp \left(-\frac{e\phi}{k_B T} \right) \quad (15)$$

که n_0 چگالی تعداد ذرات الکترون در لبه غلاف می‌باشد. بنابراین، تحت شرایط ذکر شده، مؤلفه‌های معادله اندازه حرکت دو بعدی جریان الکترون مغناطیسی شده پایا در زیرناحیه غلاف به صورت زیر قابل محاسبه می‌باشد [11]:

$$mn \left(u \frac{\partial u}{\partial r} + w \frac{\partial w}{\partial z} \right) = -k_B T \frac{\partial n}{\partial r} + en \frac{\partial \phi}{\partial r} + en w B_\theta - mn v u \quad (16)$$

$$mn \left(u \frac{\partial w}{\partial r} + w \frac{\partial u}{\partial z} \right) = -k_B T \frac{\partial n}{\partial z} + en \frac{\partial \phi}{\partial z} - en u B_\theta - mn v w \quad (17)$$

در معادلات فوق، دمای الکترون ثابت فرض می‌شود. با مشتق گیری از معادلات (16) و (17) در راستای z و r و سپس کم کردن دو معادله به دست آمده از یکدیگر، معادله زیر حاصل خواهد شد:

$$\frac{m}{e} \left[\frac{\partial}{\partial z} \left(u \frac{\partial u}{\partial r} + w \frac{\partial w}{\partial z} \right) - \frac{\partial}{\partial r} \left(u \frac{\partial w}{\partial r} + w \frac{\partial u}{\partial z} \right) \right] = \left[\frac{\partial (wB_\theta)}{\partial z} + \frac{\partial (uB_\theta)}{\partial r} \right] - \frac{1}{\beta} \left(\frac{\partial u}{\partial z} - \frac{\partial w}{\partial r} \right) \quad (18)$$

به طور کلی ضخامت زیرناحیه غلاف در حدود چند ده میکرومتر می‌باشد [3]. بنابراین، این ناحیه به عنوان لایه‌ای بسیار نازک در نظر گرفته می‌شود و می‌توان فرض کرد که $\partial(uB_\theta)/\partial r \approx \partial(uB_\theta)/\partial r$ از این‌رو، اولین عبارت در سمت راست معادله (18) با توجه به معادله (4) حذف می‌گردد. با

تعاریف در سمت راست معادله (18) (با توجه به معادله (4)) و $\tilde{\nabla} = [\partial/\partial r, 0, \partial/\partial z]$ ، $f = \partial u/\partial z - \partial w/\partial r$ معادله (18) به

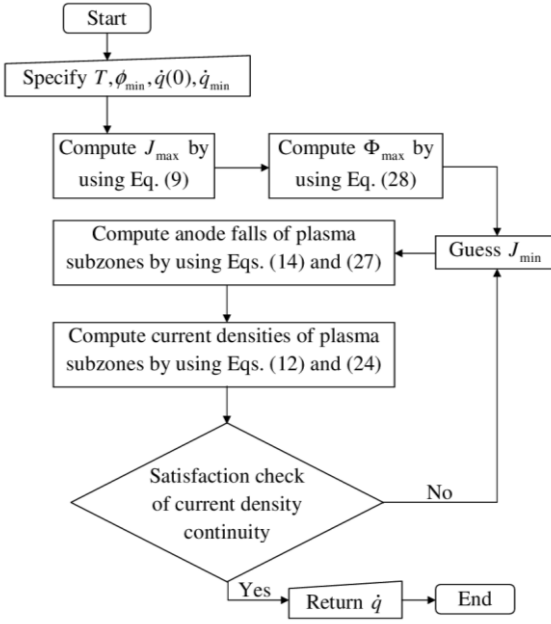


Fig. 3 Schematic flowchart describing the solution algorithm

شکل 3 نمودار روندمنای فرآیند حل

جنس کاتد از تنگستن بوده و دارای طول 10 سانتی‌متر و قطر 1.8 سانتی‌متر می‌باشد. توزیع شار حرارتی در امتداد لبه آند در "شکل 4" و "شکل 5" قابل مشاهده می‌باشد. در این نمودار، طول لبه آند بر محور افقی نگاشت شده‌اند. بر این اساس، مکان‌های -0.008 و +0.008 متر بر روی نمودار به ترتیب نشان‌دهنده گوشش بالادستی و پائین‌دستی لبه آند و نقطه صفر وسط لبه آند می‌باشند. داده‌های تجربی توسط مجموعه‌ای از ترموکوپ‌های تعیین شده بر دیواره آند اندازه‌گیری شده‌اند. نتایج تحلیلی به دست آمده تطابق خوبی با مقادیر اندازه‌گیری شده دارند. در جریان تخلیه الکتریکی 8 کیلوامپر با دیهای جرمی 4 و 24 گرم بر ثانیه، مقادیر بیشینه شار حرارتی در وسط لبه آند به ترتیب در حدود 1350 و 1490 وات بر سانتی‌مترمربع می‌باشند. مقادیر مذکور در گوشش بالادست لبه آند به 480 و 400 وات بر سانتی‌مترمربع و در گوشش پائین دست لبه آند به 640 و 660 وات بر سانتی‌مترمربع کاهش می‌یابند. همان‌طور که ملاحظه می‌شود اختلاف مقادیر به دست آمده با داده‌های تجربی در لبه پائین دست آند در مقایسه با لبه بالادست آند کمتر بوده و نتایج تحلیلی کاملاً در محدوده نوار خطای¹ داده‌های تجربی قرار گرفته‌اند. علت اختلاف مشاهده شده در بخش بالادست لبه آند به این دلیل است که مقدار عدد رینولدز مغناطیسی برخلاف فرضیات صورت گرفته در بخش 1-2 اندکی بیشتر از 0.1 (حدود 0.2 تا 0.3) به دست می‌آید. تحت این شرایط بدلیل در نظر نگرفتن سهم جایه‌جایی در معادله میدان مغناطیسی، گرادیان خطوط میدان مغناطیسی نسبتاً شدیدتر شده و این به معنای بزرگ‌تر شدن مقادیر چگالی جریان الکتریکی است. بنابراین، اراضی شرط پیوستگی برای مقادیر بزرگ‌تر جریان نیازمند برقراری میدان الکتریکی قوی‌تر در ناحیه غلاف بوده که به تبع آن افت ولتاژ افزایش بیشتری خواهد داشت. در نتیجه مقادیر شار حرارتی در بخشی از بالادست لبه آند بیشتر از مقادیر تجربی پیش‌بینی شده است. با این وجود، نتایج تحلیلی روند صعودی شار حرارتی در ناحیه مذکور را به خوبی نشان می‌دهد.

² Error bar

که در آن λ_D طول دیای² می‌باشد و مقدار آن نوعاً از مرتبه 1 میکرومتر است [3]. به منظور افزایش تطابق نتایج تحلیلی با داده‌های تجربی، مقدار طول دیای بر حسب ϕ_{max} و Φ_{max} (که به ترتیب میزان افت آند در گوشش پایین دست و بالادست لبه آند $L = \pm z$ می‌باشد) قابل محاسبه است. بر این اساس معادله (26) به فرم زیر بازنویسی می‌شود:

$$\phi = \phi_{\text{min}} + \frac{2k_B T}{e} \ln \left(\cosh \left(\frac{z}{L} \tanh^{-1} \sqrt{1 - \exp \left(- \frac{e\Delta\phi}{k_B T} \right)} \right) \right) \quad (27)$$

در معادله (27)، $\Delta\phi = \Phi_{\text{max}} - \phi_{\text{min}} - \varphi(\pm L)$ است. با استفاده از معادله (3)، Φ_{max} به فرم زیر محاسبه می‌شود:

$$\Phi_{\text{max}} = \frac{\dot{q}_{\text{min}}}{J_{\text{min}}} - \left(\omega + \frac{5k_B T}{2e} \right) \quad (28)$$

که در آن \dot{q}_{min} شار حرارتی در گوشش پایین دست و بالادست لبه آند می‌باشد. در نهایت، چگالی جریان الکتریکی در طول لبه آند با جایگذاری معادله (27) در معادله (24) بدست می‌آید.

2- الگوریتم حل

با توجه به مباحثت بیان شده در بخش قبلی، فرآیند حل جهت تعیین شار حرارتی آند به صورت ذیل می‌باشد:

1- مقادیر $\phi_{\text{min}}, \dot{q}_{\text{min}}, T$ (به عنوان شروط مزدی) و J_{max} توسط معادله (9) از داده‌های تجربی تعیین شده و سپس Φ_{max} با استفاده از معادله (28) محاسبه می‌شود.

2- مقدار J_{min} را حدس زده و سپس Φ_{max} با استفاده از معادله (28) محاسبه می‌گردد.

3- افتهای پتانسیل الکتریکی در زیر نواحی پلاسمای شبه خنثی و غلاف آند به ترتیب با استفاده از معادلات (14) و (27) به دست می‌آیند.

4- به منظور ارضای شرط پیوستگی چگالی جریان الکتریکی، توزیع چگالی جریان در ناحیه پلاسمای شبه خنثی که از معادله (12) به دست آمده باید با مقدار آن در زیرناحیه غلاف که از معادله (24) حاصل شده، برابر باشد.

5- در صورت عدم ارضای شرط پیوستگی چگالی جریان الکتریکی تمامی محاسبات از گام دوم به بعد تکرار خواهد شد. شار حرارتی در طول سطح آند با استفاده از معادله (3) محاسبه شده و افت کلی آند و چگالی جریان به ترتیب از گام‌های سوم و چهارم به دست می‌آید. روندمنای الگوریتم حل در "شکل 3" قابل مشاهده است.

3- نتایج و بحث

به منظور اعتبارسنجی الگوریتم تحلیلی توسعه داده شده، رانشگر آزمایشگاهی دانشگاه پرینستون با پیشرانه آرگون تحت شرایط کاری مورد مطالعه تجربی قرار گرفته، مدل‌سازی شده است. همان‌طور که در "شکل 2" ملاحظه می‌شود، رانشگر دارای محفظه تخلیه الکتریکی استوانه‌ای شکل از جنس آلومینیوم به طول 5 سانتی‌متر، قطر داخلی 15 سانتی‌متر و قطر خارجی 18.8 سانتی‌متر می‌باشد. سطح داخلی این محفظه توسط یکی‌بی‌ی از جنس پیرکس با ضخامت 1 سانتی‌متر پوشیده شده است. همچنین

¹ Debye length

$$U_B = \sqrt{\left(\frac{J_{\max}}{en_{sh}}\right)^2 \exp\left(\frac{2e\phi_{\min}}{k_B T}\right) - \frac{4e}{m} \phi_{\min}} \quad (30)$$

با تعریف سرعت موثر، $U = \sqrt{4e/m \phi + U_B^2}$ و استفاده از سرعت حرارتی الکترون، $U_T = \sqrt{2k_B T/m}$. معادله (29) به شکل زیر در می‌آید.

$$\Delta \dot{S}'' = \frac{mn_0 U_B^2}{2T} \frac{(-\int g(U) \ln[g(U)] dU)}{(-g(U_B) \ln[g(U_B)])} \quad (31)$$

در رابطه بالا داریم:

$$g(U) = \exp\left(-\frac{U^2}{2U_T^2}\right) \quad (32)$$

که تابع چگالی احتمال بوده و دارای توزیع گاووسی (یا نرمال) است. این امر اثبات شده است که انگرال موجود در رابطه (31) که در ترمودینامیک آماری موسوم به انتروپی تفاضلی² است زمانی بیشینه می‌گردد که تابع چگالی احتمال آن دارای توزیع نرمال باشد [12]. بنابراین می‌توان نتیجه

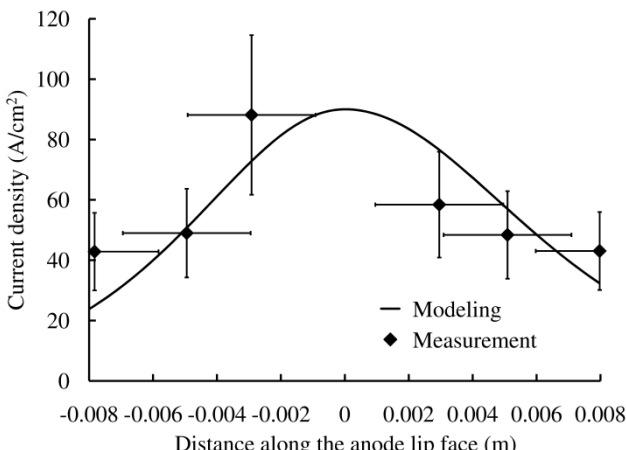


Fig. 6 Comparison of calculated and measured [3] current densities for $I_{\text{dis}}^2/\dot{m} = 16 \text{ (kA)}^2 \text{s/gr}$

شکل 6 مقایسه چگالی جریان الکتریکی محاسبه شده با داده‌های تجربی [3] برای $I_{\text{dis}}^2/\dot{m} = 16 \text{ (kA)}^2 \text{s/gr}$

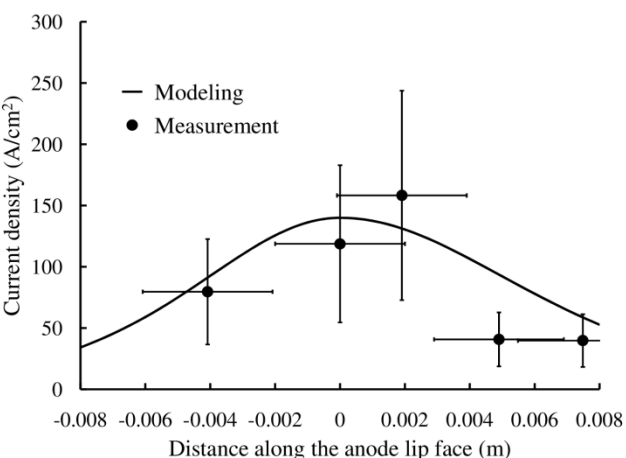


Fig. 7 Comparison of calculated and measured [5] current densities for $I_{\text{dis}}^2/\dot{m} = 2.67 \text{ (kA)}^2 \text{s/gr}$

شکل 7 مقایسه چگالی جریان الکتریکی محاسبه شده با داده‌های تجربی [5] برای $I_{\text{dis}}^2/\dot{m} = 2.67 \text{ (kA)}^2 \text{s/gr}$

² Differential entropy

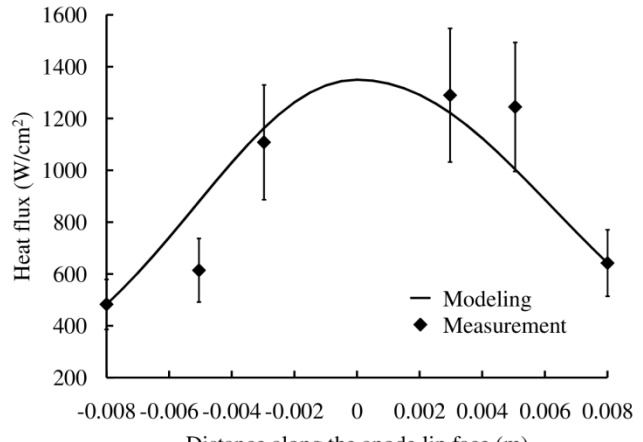


Fig. 4 Comparison of calculated and measured [3] heat fluxes for $I_{\text{dis}}^2/\dot{m} = 16 \text{ (kA)}^2 \text{s/gr}$

شکل 4 مقایسه شار حرارتی محاسبه شده با داده‌های تجربی [3] برای $I_{\text{dis}}^2/\dot{m} = 16 \text{ (kA)}^2 \text{s/gr}$

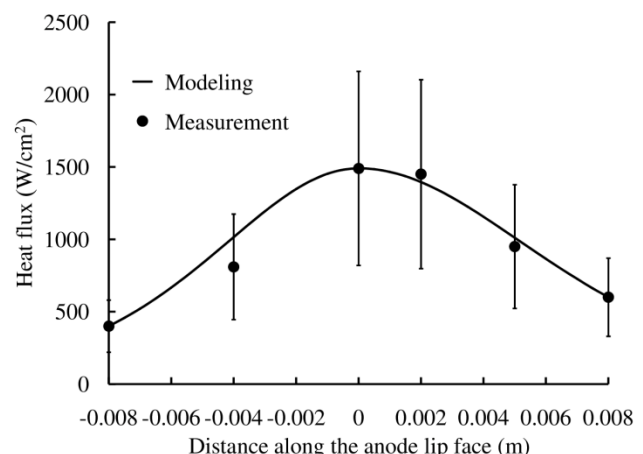


Fig. 5 Comparison of calculated and measured [5] heat fluxes for $I_{\text{dis}}^2/\dot{m} = 2.67 \text{ (kA)}^2 \text{s/gr}$

شکل 5 مقایسه شار حرارتی محاسبه شده با داده‌های تجربی [5] برای $I_{\text{dis}}^2/\dot{m} = 2.67 \text{ (kA)}^2 \text{s/gr}$

همان‌طور که مشاهده شد، شار حرارتی در وسط لبه آند جایی که چگالی جریان به دست آمده در "شکل 6" و "شکل 7" بیشینه شده، بیشترین مقدار خود را اختیار کرده است. چگالی جریان محاسبه شده سازگاری خوبی با مقادیر اندازه‌گیری شده داشته و در محدوده داده‌های تجربی قرار دارد. در دبی‌های جرمی 4 و 24 گرم بر ثانیه، چگالی جریان الکتریکی محاسبه شده در گوشش بالا درست لبه آند به ترتیب برابر با 24 و 33 آمپر بر سانتی‌مترمربع می‌باشد. این مقادیر در وسط لبه آند به 90 و 140 آمپر بر سانتی‌مترمربع افزایش یافته و سپس در گوشش پایین‌دست لبه آند به 32 و 53 آمپر بر سانتی‌مترمربع کاهش می‌یابند. ملاحظه می‌شود که نمودار چگالی جریان الکتریکی به صورت قله‌ای¹ است. برای یافتن دلیل این امر، می‌توان قانون دوم ترمودینامیک را برای ناحیه غلاف به کار بست. بر این اساس، با استفاده از معادله (24)، نرخ تولید شار انتروپی ($\Delta \dot{S}'' = \int T^{-1} J d\phi$)، به صورت زیر قابل محاسبه است.

$$\Delta \dot{S}'' = \frac{en_0}{T} \int \exp\left(-\frac{e\phi}{k_B T}\right) \sqrt{\frac{4e}{m} \phi + U_B^2 d\phi} \quad (29)$$

¹ Peak-shaped

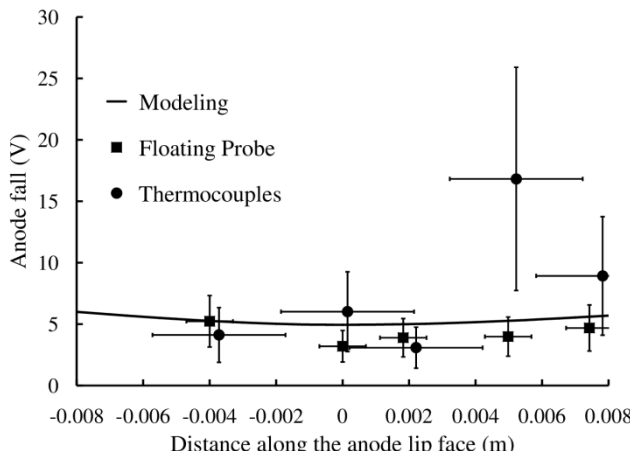


Fig. 9 Comparison of calculated and measured [5] heat fluxes for $I_{dis}/\dot{m} = 2.67 \text{ (kA)}^2 \text{s/gr}$

شکل 9 مقایسه افت ولتاژ آند محاسبه شده با داده های تجربی [5] برای $I_{dis}/\dot{m} = 2.67 \text{ (kA)}^2 \text{s/gr}$

آند با در نظر گرفتن زیر نواحی غیرخنثی و شبکه خنثی ارائه شد. با به کار گیری مدل ارائه شده، فرآیند الکتروگرمایی آند مربوط به رانشگر آزمایشگاهی دانشگاه پرینستون مورد مطالعه و بررسی قرار گرفت. شار حرارتی محاسبه شده تطابق خوبی با داده های تجربی نشان داد و در وسط آند باید چگالی جریان الکتریکی بیشینه شد، مقدار حداقل خود را پیدا کرد. اختلاف اندک بین نتایج تحلیلی و تجربی با بررسی فرضیات اعمال شده و مکانیزم های تولید افت آند توجیه شدند. همچنان نتایج بدست آمد نشان دادند که با افزایش (کاهش) چگالی جریان الکتریکی در امتداد آند، افت ولتاژ کاهش (افزایش) یافت. لذا مقاومت تفاضلی جریان پلاسمایی که به صورت مشتق افت آند به چگالی جریان الکتریکی تعریف می شود، منفی است. دلیل این موضوع این است که توزیع ماکسول-بولتزمن کترون ها منجر به توزیع قله ای شکل چگالی جریان الکتریکی می شود که به تبع آن با ایجاد یک تابع چگالی احتمال گاوی برای سرعت موثر، تولید آنتروپی بیشینه می شود. تحت این شرایط افت ولتاژ در مرای شکل شده و دارای نقطه کمینه می گردد. از این رو، در نزدیکی وسط آند، شار کترون موردنیاز عمدهاً بدليل افزایش شار حرارتی تامین می گردد. در حالی که در نزدیکی گوشش های آند، تامین شار کترون موردنیاز مبتنی است بر افزایش میدان الکتریکی و شتابدهی کترون ها که در نتیجه افت ولتاژ در این نواحی افزایش می یابد.

اگرچه با توسعه مدل تحلیلی ارائه شده، جزئیات فرآیند الکتروگرمایی آند به خوبی تجزیه و تحلیل شد اما همان طور که پیش تر اشاره گردید، اثرات فرآیند یونیزاسیون در مدل بیان شده موضوعی است که می تواند در مطالعات آتی مدنظر قرار بگیرد. همچنان با نظر گرفتن اثرات پدیده گرمایونی³ در مدل ارائه شده، می توان الگوریتم مذکور را برای مطالعه مشخصه های الکتروگرمایی الکتروود کاتد استفاده کرد.

5- فهرست علاوه

بردار میدان مغناطیسی (T)	B
بار الکتریکی کترون ($C \cdot 1.602 \times 10^{-19}$)	e
بزرگی میدان الکتریکی ($V \text{m}^{-1}$)	E
بردار چگالی جریان الکتریکی (Am^{-2})	J
نیمه طول آند (m)	L

³ Thermionic effect

گرفت که طبیعت زیرناحیه غلاف به گونه ای رفتار می کند که با قله ای شکل شدن چگالی جریان الکتریکی،تابع چگالی احتمال سرعت موثر دارای توزیع گاوی شده و در نتیجه تولید آنتروپی بیشینه گردد.

در "شکل 8" و "شکل 9" تغییرات افت آند در امتداد آند با مقادیر اندازه گیری شده توسط سنجه الکتریکی و ترموموکوپ، مقایسه شده است. نتایج تحلیلی بدست آمده سازگاری خوبی با نتایج تجربی دارند. مقدار کمینه افت ولتاژ بدست آمده به ازای دبی های جرمی 4 و 24 گرم بر ثانیه به ترتیب برابر 5.8 و 4.9 ولت می باشد. این مقادیر در گوشش بالادست آند به 11 و 6 ولت و در گوشش پایین دست آند به 8.2 و 5.7 ولت افزایش می یابند. ملاحظه می شود که در جریان تخلیه الکتریکی یکسان، در دبی جرمی کمتر، مقادیر تحلیلی افت آند بیشتر از مقادیر تجربی آن پیش بینی شده اند. دلیل اول این موضوع می تواند مربوط به مقادیر بزرگ عدد رینولز مغناطیسی باشد که پیش تر بیان گردید. دلیل دوم این است که در دبی جرمی کمتر، مقادیر چگالی تعداد ذرات الکترون در مجاورت آند از شار الکترون تصادفی¹ کوچکتر است. از این رو، برای بقای شرط پیوستگی جریان الکتریکی، یک میدان الکتریکی در نزدیکی آند به وجود می آید تا شار الکترون را توسط دو مکانیزم مختلف در سطح مناسبی حفظ کند. در مکانیزم اول، به دلیل افزایش میدان الکتریکی در مجاورت سطح آند مقدار حرارت اهمی زیاد شده و در نتیجه نرخ یونیزاسیون بالا رفته و سطح تولید الکترون به حدی می رسد که شار الکترون موردنیاز مجدداً به مقدار مکفی برسد. در مکانیزم دوم، جریان الکتریکی براساس هدایت الکتریکی مبتنی بر پدیده انتقال نفوذ غالب² صورت می گیرد. در این مکانیزم با نفوذ الکترون ها به ناحیه کم چگالی، کمبود شار الکترون تصادفی مرتفع می گردد. با توجه به این که در مدل تحلیلی ارائه شده، فرآیند یونیزاسیون در نظر گرفته نشده است، لذا افزایش در مقدار شار الکترون تنها براساس مکانیزم دوم صورت می گیرد. بنابراین، برای ارضای شرط پیوستگی جریان و تامین شار الکترون موردنیاز، در حل تحلیلی میدان الکتریکی بزرگ تری تولید شده و در نتیجه مقدار افت ولتاژ آند در شرایط کم چگالی مقداری بیش تر از حالت واقعی پیش بینی می شود.

4- جمع بندی

الگوریتمی تحلیلی برای مطالعه مشخصه های جریان پلاسمایی مجاور الکتروود

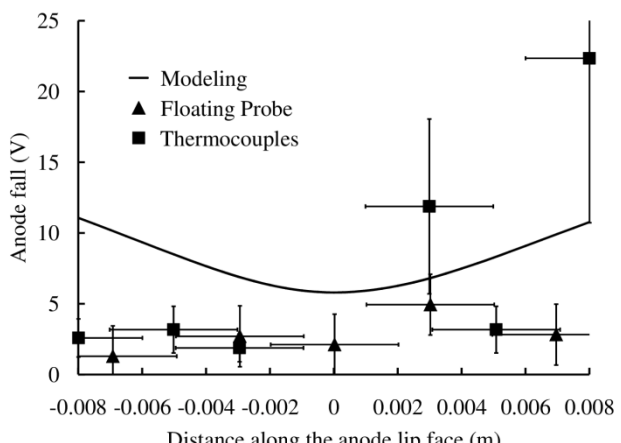


Fig. 8 Comparison of calculated and measured [3] anode falls for $I_{dis}/\dot{m} = 16 \text{ (kA)}^2 \text{s/gr}$

شکل 8 مقایسه افت ولتاژ آند محاسبه شده با داده های تجربی [3] برای $I_{dis}/\dot{m} = 16 \text{ (kA)}^2 \text{s/gr}$

¹ Random electron flux

² Diffusion-dominated-transportphenomenan

جهت محیطی θ

6- مراجع

- [1] R.C. Oberth, *Anode Phenomena in High-Current Discharges*, PhD Thesis, Princeton University, New Jersey, 1970.
- [2] M. Ahangar, *Numerical simulation of fluid flow in magnetoplasmadynamic thruster*, PhD Thesis, Department of Aerospace Engineering, K. N. Toosi University of Technology, Tehran, 2015. (in Persian)
- [3] A.D. Gallimore, *Anode Power Deposition in Coaxial MPD Thrusters*, PhD Thesis, Princeton University, Princeton, New Jersey, 1992.
- [4] M. Ahangar, R. Ebrahimi, and M. Shams, Numerical Investigation of Plasma Behavior and Anode Sheath in a Magnetoplasmadynamic Thruster, *Journal of Propulsion and Power*, Vol. 32, No. 2, pp. 420-430, 2016.
- [5] A.J. Saber, *Anode Power in a Quasi-Steady MPD Thruster*, PhD Thesis, Princeton University, New Jersey, 1974.
- [6] Choueiri, Anomalous resistivity and heating in current-driven plasma thrusters, *Physics of Plasmas*, Vol. 6, No. 5, pp. 2290–2306, 1999.
- [7] G. Caldo, E. Y. Choueiri, A. J. Kelly, R. G. Jahn, An MPD Code with Anomalous Transport, *22nd International Electric Propulsion Conference*, Viareggio, Italy, pp. 91-101, 1991.
- [8] K. Sankaran, *Simulation of Plasma Flows in Self-Field Lorentz Force Accelerators*, PhD Thesis, Princeton University, New Jersey, 2005.
- [9] M. Ahangar, R. Ebrahimi, M. Shams, Numerical Simulation of Non-Equilibrium Plasma Flow in a Cylindrical MPD Thruster Using a High-Order Flux-Difference Splitting Method, *Acta Astronautica*, Vol. 103, pp. 129–141, 2014.
- [10] I. Kimura, Current Distribution on the Electrodes of MPD Arcjets, *AIAA Journal*, Vol. 20, No. 7, pp. 889-892, 1982.
- [11] M. Mitchner, C.H. Kruger, *Partially Ionized Gases*, Original Edition, pp.180-181, New York: Wiley, 1973.
- [12] D. Arovas, *Lecture notes on thermodynamics and statistical mechanics*, Accessed on 14 November 2013; <http://physics.ucsd.edu/students/courses/spring2010/physics210a/lectures.html>.

حریان تخلیه کل (kA)	I_{dis}
ثابت بولتزمن ($1.381 \times 10^{-23} \text{ JK}^{-1}$)	k_B
نرخ جریان جرمی پیشران (grs^{-1})	\dot{m}
جرم الکترون ($9.1094 \times 10^{-31} \text{ kg}$)	m
چگالی تعداد ذرات الکترون (m^{-3})	n
شار حرارتی (wm^{-2})	\dot{q}
شعاع آند (m)	r_a
دمای الکترون (K)	T
سرعت شعاعی (ms^{-1})	u
سرعت محوری (ms^{-1})	w
علایم بونانی	
ثابت گذردهی الکتریکی خلاء ($8.85 \times 10^{-12} \text{ Fm}^{-1}$)	ϵ_0
نفوذپذیری مغناطیسی خلاء ($4\pi \times 10^{-7} \text{ VsA}^{-1}\text{m}^{-1}$)	μ_0
افت ولتاژ پلاسمای شبه خنثی (V)	φ
افت ولتاژ ناحیه غلاف (V)	ϕ
افت آند (V)	Φ
تابع کار (V)	χ
زیرنویس‌ها	
غلاف	Sh